

PACS: 81.40.Ef, 81.40.-z

Я.Е. Бейгельзимер<sup>1</sup>, Б.М. Эфрос<sup>1</sup>, Д.В. Орлов<sup>2</sup>,  
Т.П. Заика<sup>1</sup>, С.Г. Сынков<sup>1</sup>

## ОСОБЕННОСТИ ФОРМИРОВАНИЯ УЛЬТРАМИКРОКРИСТАЛЛИЧЕСКОЙ СТРУКТУРЫ ТИТАНА ПРИ ВИНТОВОМ ПРЕССОВАНИИ

<sup>1</sup>Донецкий физико-технический институт им. А.А. Галкина НАН Украины  
83114, г. Донецк, ул. Р. Люксембург, 72

<sup>2</sup>Донецкий государственный технический университет  
83000, г. Донецк, ул. Артема, 58

Статья поступила в редакцию 15 марта 2001 года

*Исследовано влияние винтового прессования (ВП) на структуру и упрочнение металлов и сплавов на примере поликристаллического титана. Установлены оптимальные режимы ВП для формирования ультрамикрокристаллической (УМК) структуры.*

УМК-материалы, к которым можно отнести нанокристаллические (НК) материалы со средним размером зерен  $\sim 10$  нм и субмикрокристаллические (СМК) со средним размером зерен  $\sim 100$  нм, вызывают повышенный интерес исследователей в связи с их уникальными физико-механическими свойствами [1–3]. В частности, УМК-металлы и сплавы характеризуются сочетанием высокой прочности и пластичности. В них, по сравнению с крупнокристаллическими аналогами, на несколько порядков повышаются коэффициенты диффузии, изменяются электрические и магнитные свойства, снижаются температуры полиморфных превращений, изменяются такие фундаментальные параметры, как температуры Кюри и Дебая. Однако, несмотря на многочисленные проводимые исследования, однозначная интерпретация такого поведения УМК-металлов и сплавов отсутствует.

Одним из эффективных методов формирования УМК-структур с размером зерен порядка 100 нм и меньше является интенсивная пластическая деформация (ИПД). Сущность данного метода заключается в формировании за счет пластических сдвиговых деформаций высокодисперсной сильно фрагментированной структуры [4,5]. ИПД по достигаемому размеру кристаллитов несколько уступает методу компактирования нанокластеров, конденсированных из газовой среды, и методу шарового размола [3], но позво-

ляет получать практически беспористый УМК-материал.

В настоящее время пристальное внимание исследователей в области физического материаловедения привлекают специальные методы ИПД, являющиеся мощным инструментом преобразования структуры материалов [5–7]. Наиболее применимы кручение дисковых заготовок на наковальнях Бриджмена, равноканальное угловое прессование цилиндрических и призматических заготовок, всесторонняя изотермическая ковка. Данные методы используют для ИПД различных металлов и сплавов с целью получения массивных УМК-образцов, которые имеют большие перспективы для практического применения.

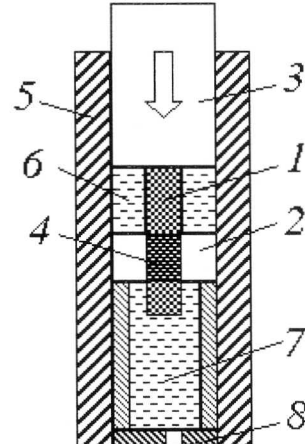
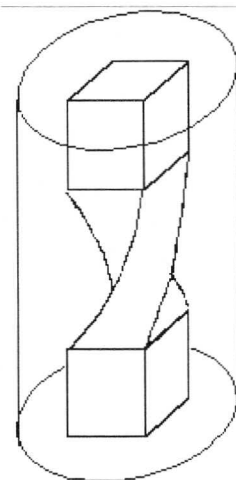
В настоящей работе основное внимание уделено новому методу ИПД – винтовому прессованию [8].

Величина деформации сдвига  $\Lambda$ , накопленная материалом при одном переходе ВП, рассчитывается по формуле [8]:

$$\Lambda = 2 \frac{r}{R} \operatorname{tg} \gamma_{\max},$$

где  $r$  – расстояние от точки до оси прессования;  $R$  – расстояние от оси прессования до контура сечения канала по лучу, проходящему через рассматриваемую точку;  $\gamma_{\max}$  – максимальное значение угла наклона винтовой линии к оси прессования.

На рис. 1 приведена матрица с винтовым каналом прямоугольного сечения для ВП. В общем случае можно использовать матрицы с винтовыми каналами, имеющими сечения произвольной формы, в том числе без центра симметрии.



**Рис. 1.** Матрица с винтовым каналом для ВП

**Рис. 2.** Схема процесса ВП (обозначения см. в тексте)

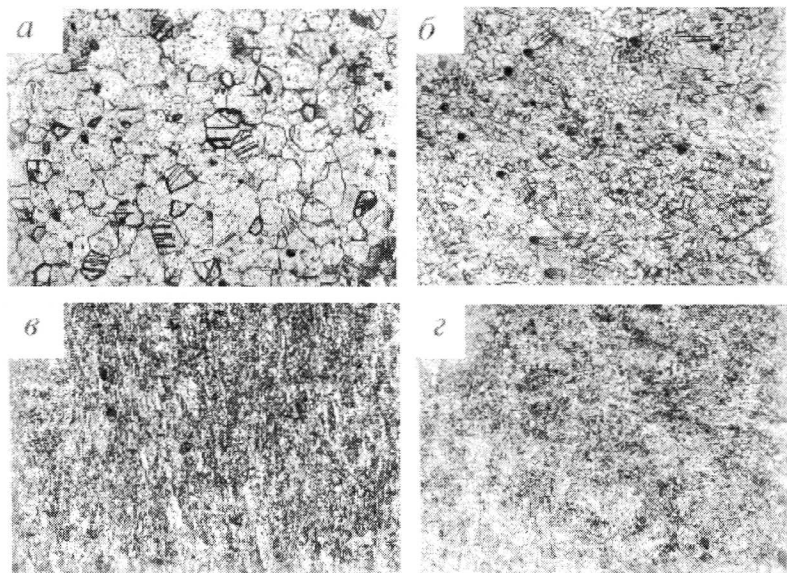
Схема установки для процесса ВП изображена на рис. 2. При прессовании заготовка 1 продавливается через винтовую матрицу 2 с помощью плунжера 3. Канал матрицы схематически показан в виде заштрихованного прямоугольника 4. Матрица и заготовка размещаются в контейнере 5, имеющем две соединенные между собой камеры 6 и 7. В этих камерах находится жидкость под высоким ( $\sim 500\text{--}1000$  МПа) давлением, которое создается путем сжатия жидкости плунжером. В камере 7 имеется клапан 8, позволяющий поддерживать постоянное давление жидкости. В результате одного цикла прессования заготовка перемещается из камеры 6 в камеру 7. При этом плунжер достигает матрицы, после чего он поднимается, а матрица с заготовкой переворачиваются так, что заготовка опять оказывается сверху матрицы, т.е. в камере 6. Далее циклы прессования повторяются. Высокое гидростатическое давление жидкости повышает технологическую пластичность металла и позволяет накопить большие деформации без разрушения.

Оценка возможности применения ВП для получения УМК-структур в металлах и сплавах проводилась на примере поликристаллического титана марки BT1-0 стандартного химического состава [9]. Образцы из данного металла с размером зерна  $\approx 25$   $\mu\text{m}$  (исходное состояние) после предварительной деформационно-термической обработки подвергали формоизменению посредством трех переходов методом ВП через прямоугольную матрицу сечением  $14 \times 16$  mm при комнатной температуре с расчетными степенями деформации сдвига  $\Lambda$  до 6. Перед прессованием на заготовки наносили подсмазочное покрытие (оксид титана), а также смазку на основе пчелиного воска ( $\approx 80\%$ ) и индустриального масла И-20 ( $\approx 20\%$ ). Структуру анализировали с помощью оптической микроскопии (увеличение до 2000) на приборе «Neophot-32» (наблюдение структуры при больших увеличениях осуществляли с помощью иммерсионного объектива). Средний размер зерен рассчитывали методом секущих. Дюрометрические измерения проводили по методу Виккерса на приборе ПМТ-3 с нагрузкой 0.98 N.

На рис. 3 приведены экспериментальные результаты структурной эволюции поликристаллического титана марки BT1-0 в условиях низкотемпературной ИПД ( $T_d \leq 0.2 T_m$ ) методом ВП. Металлографический анализ показал, что как в поперечном, так и в продольном сечениях образца титана с ростом количества переходов при ВП (увеличением степени деформации сдвига  $\Lambda$ ) размер зерен  $d$  резко уменьшается. Если в структуре титана в исходном состоянии размер зерна  $d$  составлял  $\approx 25$   $\mu\text{m}$ , то после первого перехода (расчетная величина  $\Lambda \approx 2$ ) размер зерна  $d$  уменьшается до значения  $\leq 10$   $\mu\text{m}$ , а после трех переходов ( $\Lambda \approx 6$ ) значение  $d \leq 1$   $\mu\text{m}$ .

Микротвердость металлов, являясь функцией деформации  $H_\mu = H_\mu(\Lambda)$ , возрастает монотонно с ростом степени деформации сдвига  $\Lambda$ . Если в исходном состоянии среднее значение  $H_\mu$  составляло  $\approx 1715$  МПа, то после первого перехода при ВП ( $\Lambda \approx 2$ ) средняя микротвердость  $H_\mu$  увеличивалась

до  $\approx 1985$  MPa, а после трех переходов ( $\Lambda \approx 6$ ) значение  $H_\mu$  достигало 3135 MPa и выше. При этом скорость упрочнения  $\partial H_\mu / \partial \Lambda$  постепенно уменьшалась, и при больших значениях деформации величина  $\partial H_\mu / \partial \Lambda$  практически стремилась к нулю.



**Рис. 3.** Изменение структуры образцов титана при ВП (поперечное сечение – *a–c*, продольное сечение – *c*,  $\times 100$ ): *a* –  $\Lambda = 0$ ; *б* –  $\Lambda = 2$ ; *в, г* –  $\Lambda = 6$

Необходимо заметить, что использованная относительно невысокая степень деформации (расчетные значения  $\Lambda \leq 6$ ) еще не позволила полностью сформировать необходимые микрокристаллиты ( $\leq 100$  nm) с преобладающими большеугловыми границами (нанозерно).

Известно [5,6,10], что на начальных этапах пластической деформации различных металлов и сплавов, как и при ИПД поликристаллического титана [11,12] ( $\Lambda$  до  $\sim 1.2$ ), в структуре происходит существенное увеличение плотности дислокаций. При деформации  $\Lambda \geq 1.8$  кардинально изменяется структура, при этом не удается определить расположение первоначальных границ зерен. Деформация  $\Lambda > 2$  ведет к дроблению зеренной структуры на фрагменты, на электронно-микроскопических фотографиях которой (светлопольное изображение) обнаруживаются многочисленные размытые контуры экстинкции равного наклона, в то время как на темнопольных изображениях наблюдается разбиение исходной структуры на относительно мелкие фрагменты с большеугловыми разориентациями. В интервале  $4 < \Lambda < 5$  в исследованном металле формируется УМК- (в основном СМК-) структура, образованная из фрагментов размером  $\leq 1$   $\mu\text{m}$  с большеугловыми границами разориентировки. При дальнейшей деформации микрокристаллиты практически не меняют своих размеров  $d$  и практически не содержат

дислокаций, давая равноосные точечные рефлексы на электронограммах.

Сформированная СМК-структура, предельно насыщенная дефектами, является устойчивой по отношению к дальнейшему пластическому течению при ВП. Необходимо отметить, что данная структура деформируется по специфическим механизмам, сходным с механизмами высокотемпературной сверхпластической деформации, доминирующим механизмом которой выступает зернограничное проскальзывание [5,13].

Одной из причин более высокого упрочнения поликристаллического титана после ВП может являться схема напряженно-деформированного состояния при ИПД, задаваемая механикой процесса деформирования. Как отмечается в работах [4,7], традиционные методы пластической деформации (прокатка, волочение, ковка, кручение) позволяют достичь достаточно высокой степени обжатия за счет многократной обработки, но не обеспечивают в отличие от ИПД однородного распределения параметров напряженного состояния.

Таким образом, в данной работе показано, что ИПД методом ВП металлов и сплавов на примере поликристаллического титана в отличие от пластической деформации традиционными способами приводит к более резкому увеличению прочностных характеристик (оценка выполнялась по замерам микротвердости). Это связано как с особенностями напряженно-деформированного состояния при ИПД, так и преимущественно с особенностями формирования более равновесной микрокристаллической структуры в процессе ВП.

Полученные результаты свидетельствуют, что ИПД методом ВП при реализации оптимальных режимов и условий процесса формоизменения может быть достаточно эффективным для получения УМК-структур в различных металлах и сплавах.

1. R. Birringer, H. Gleiter, in: Encyclopedia of Materials. Sci. and Eng. Suppl.1., R.W. Cahn (ed.), Pergamon Press, New York (1988).
2. R.W. Siegel, H. Hahn, in: Current Trends in the Physics of Materials, M. Yussouff (ed.), World Scientific, Singapore (1987).
3. И.Д. Морохов, Л.И. Трусов, В.И. Лаповок, Физические явления в ультрадисперсных средах, Наука, Москва (1984).
4. В.М. Сегал, В.И. Резников, В.И. Копылов и др., Процессы пластического структурообразования металлов, Наука и техника, Минск (1994).
5. Р.З. Валиев, И.В. Александров, Наноструктурные материалы, полученные интенсивной пластической деформацией, Логос, Москва (2000).
6. В.В. Рыбин, Большие пластические деформации и разрушение металлов, Металлургия, Москва (1986).
7. Структура и свойства нанокристаллических материалов, Г.Г. Талуц, Н.И. Носкова (ред.), УрО РАН, Екатеринбург (1999).
8. Я.Е. Бейгельзимер, В.Н. Варюхин, В.Г. Сынков, С.Г. Сынков, ФТВД **10**, № 1, 24 (2000).

9. Б.Б. Чечулин, С.С. Ушаков, И.Н. Разуваева и др., Титановые сплавы в машиностроении, Машиностроение, Ленинград (1977).
10. Я.Е. Бейгельзимер, В.Н. Варюхин, Б.М. Эфрос, Физическая механика гидростатической обработки материалов, ДонФТИ НАН Украины, Донецк (2000).
11. Г.И. Рааб, Р.З. Валиев, МиТОМ № 9, 27 (2000).
12. Б.М. Эфрос, Я.Е. Бейгельзимер, В.И. Юшков, в сб.: Обработка металлов давлением, УПИ, Екатеринбург, вып. 12, 45 (1991).
13. О.А. Кайбышев, Сверхпластичность промышленных сплавов, Металлургия, Москва (1984).

*Ya.E. Beygelzimer, B.M. Efros, D.V. Orlov, T.P. Zaika, S.G. Synkov*

#### **PECULIARITIES OF FORMATION OF TITANIUM ULTRAMICROCRYSTALLINE STRUCTURE UNDER TWIST EXTRUSION**

The influence of twist extrusion (TE) on structure and hardening of metals and alloys has been investigated with the example of single-crystalline titanium. Optimal regimes of TE for the formation of ultramicrocrystalline (UMC) structure have been determined.

**Fig. 1.** Twist-channel die for TE

**Fig.2.** Scheme of TE process (for designation see the text)

**Fig. 3.** Change in the structure of titanium samples under TE ( $\times 100$ ):  $a-\sigma$  – cross section,  $\varepsilon$  – longitudinal section;  $a - \Lambda = 0$ ,  $\delta - \Lambda = 2$ ,  $\sigma$ ,  $\varepsilon - \Lambda = 6$